

名古屋大学 正会員 松澤 宏  
名古屋大学大学院 学生員 大谷仁志  
名古屋大学 学生員 矢野康明

### 1. まえがき

剛性壁に作用する地震時受動土圧の特性を明らかにするため、乾燥した豊浦標準砂を用いて、大型振動砂槽による実験的研究を行った。本報告では、(1)壁の変位に応じる抵抗土圧の特性、(2)振動加速度が、最大抵抗土圧である地震時受動土圧に及ぼす影響、(3)破壊領域の大きさと振動加速度の関係、の3点について実験結果を示すとともに、対数ら線法の実験結果への適応性について考察をする。

### 2. 実験装置および実験方法

実験に使用した大型振動砂槽は、内寸法が長さ200cm×幅200cm×深さ75cmであり、長手方向に水平な正弦振動を起すことができる。砂槽の振動方向の一端には、図-1に示す土圧計測用の可動壁となる、ており、振動による壁の慣性力を除去するため、左右2枚に分離され、対重によりバランスをとっている。1枚の可動壁は、幅99.5cm×高さ47.5cmで、その下端が砂槽底面より25cm上方に位置している。壁に取りつけられた3個の荷重計の連続的な読みから、土圧合力の大きさ、壁摩擦角、合力の着力点を求めることがができる。

実験には、上述した砂を壁高H=42±1.0cm、単位体積重量γ\_d=

$1.60 \pm 0.02 \text{ g/cm}^3$  ( $D_f = 0.869$ ) となるように砂槽内に詰めた。砂の充填後、振動数 $2.9 \text{ Hz}$ の安定した振動の上で、可動壁を鉛直に保ち、水平方向に $0.074 \text{ cm/sec}$ の速さで中詰め砂に向けて変位させた。壁変位終了後、破壊領域の大きさを調べるために、細い金属棒を貫入してすべり面の位置を調べるとともに、壁から地表面におけるすべり面の位置までの長さを測った。図-2は、振動中ににおける荷重計の記録であるが、加速度の波形に対して同位相あるいは逆位相の、極めて正弦波に近い波形である。

### 3. 実験結果と考察

図-3は、加速度 $\alpha = 480 \text{ gal}$ 、壁高H=43.0cmで行なった振動実験結果の一例であり、土圧係数K、壁摩擦係数tanδ、相対着力点d/Hを、横軸の壁変位量dに対して示している。図中の実線は最大慣性力作用時、破線は最小慣性力作用時の値を示しておらず、矢印はすべり面が地表面に現れた時点を示す。最大慣性力作用時とは、振動中に中詰め砂に作用する慣性力が、壁から砂に向かって作用し、その大きさが最大になる時を称し、この逆は最小慣性力作用時といふ。K、tanδ、d/HはX軸とY軸の両曲線の間を振動しながら変化した。図中の点線は、Kとdの実測値を用いて対数ら線法により逆算した内部摩擦角である。この図より特筆すべきことは、(1)Kが最大となる壁変位量は、 $d_{kp} = 9 \sim 11 \text{ mm}$  ( $d_{kp}/H = 2.1 \sim 2.6 \times 10^{-2}$ ) であるのにに対して、tanδは $d_{kp}$ の2~3倍の変位量により最大となること、(2)Kの最大値

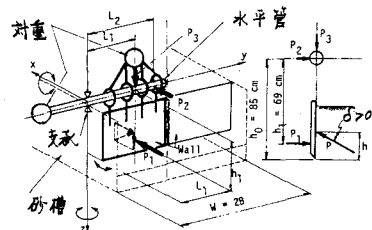


図 - 1

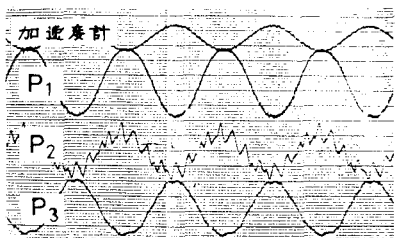


図 - 2

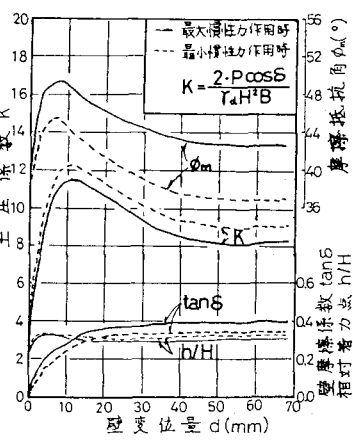


図 - 3

は  $d_{kp}$  より小さなすべり量で生じたこと。  
 (3)すべり面が観察された壁裏位置は、 $d_{kp}$  の 2.5 倍程度であること、(4)  $\delta/H$  は、壁裏位のほぼ全過程を通じて  $\delta/H = 0.3 \sim 0.4$  である。したこと、があげられる。(1),(2),(3)より、壁に沿うすべりは、壁下端からすべり面に沿うすべりより遅れて発生すること、また(4)より、壁に作用する土圧は三角形分布に近いといえよう。

図-4,5,6 は振動加速度を横軸にと

り、地震時受働土圧係数  $K_{pE}$ ,  $K_{pE}$  時の

壁摩擦角  $\delta$  及び  $\delta/H$  を  $\alpha$  と  $\delta$  で示している。図-4によれば、 $\alpha = 0^{\circ} 10'$  のとき  $K_p = 1.6 \sim 1.7$  であるが、 $\alpha = 45^{\circ} 80'$  付近では、最大慣性力作用時での約 25%、最小慣性力作用時での約 20% の減少が見られた。壁摩擦角  $\delta$  は図-5に示されるように、最大慣性力作用時では振動加速度の影響をほとんど受けず、 $\delta = 16^{\circ}$  付近にばらついているが、最小慣性力作用時はわずかに減少しておらず、 $\alpha = 45^{\circ} 80'$  付近で 13.5 へ 15.5 となる。図-6に  $K_{pE}$  時の  $\delta/H$  を図示したが、加速度の大きさにより  $\delta/H = 0.3 \sim 0.4$  の範囲内であることがわかる。また図-4には、対数らせん法を用いた計算値を実験で示したが、 $\delta = 16^{\circ}$  を用いるとき  $\delta = 49^{\circ} \sim 50^{\circ}$  の内部摩擦角で、最大慣性力作用時に對応する計算結果が実験値によく合致した。

金属棒による破壊領域の計算結果の一例を図-7に示した。測定精度はよくないが、すべり面を平面として延長しても壁最下端を達らないうことから、すべり面はひとつの中面ではないといえよう。

図-8では、陸上面の壁からの長さを L として、壁高 H との比  $\delta/H$  を振動加速度  $\alpha$  に対して示した。 $\alpha = 0^{\circ} 10'$  で  $\delta/H = 3.6 \sim 3.7$  であるのにに対し、振動加速度が増大するとともに減少し、 $\alpha = 45^{\circ} 80'$  で  $\delta/H = 2.9 \sim 3.3$  となった。これらの値に対して、対数らせん法を適用すると、実測値を満足する  $\delta$  では、最大慣性力作用時が▲印、最小慣性力作用時が△印となり、実測値はその中間の値である。しかしに  $\delta = 50^{\circ}$ 、 $\delta = 16^{\circ}$  を用いて計算をすると、実験および破壊の両曲線となり、最小慣性力作用時の計算結果が実測値に非常によく近似することがわかる。図-7のすべり面の形状に対してかなりによく近似しうることがわかる。

#### 4.まとめ

すべり面が一つの中面でないことから、対数らせん法を用いて実測値への適応性を調べたが、土圧係数に対する、静的時の実測値を満足する  $\delta$  と  $\delta$  を用いて最大慣性力作用時の値がよく近似するものに対し、破壊領域における最小慣性力作用時の計算値の方が実験結果とよく整合した。

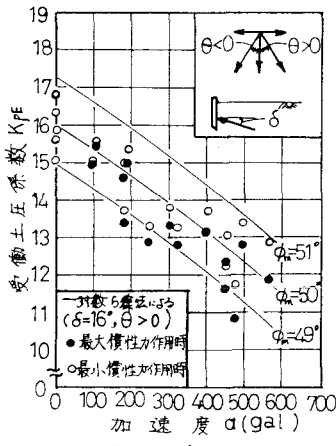


図 - 4

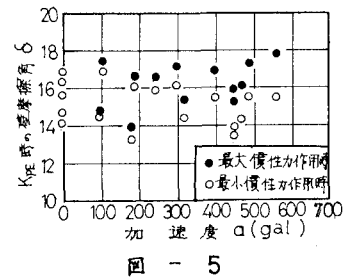


図 - 5

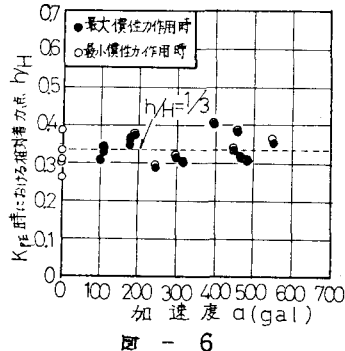


図 - 6

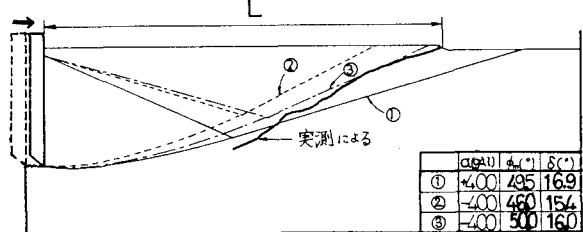


図 - 7

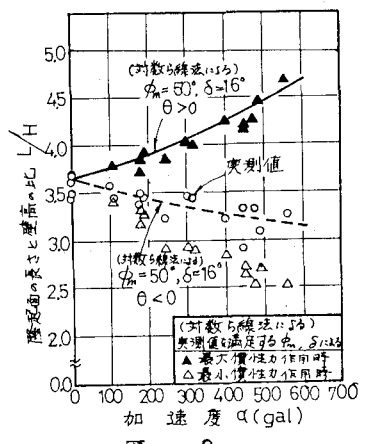


図 - 8